

SPIDEX® die elastische Kupplung **SPIDEX® the elastic coupling**



- **Drehelastisch**
- **Schwingungsdämpfend**
- **Axial steckbar**
- **Durchschlagsicher**
- **Wartungsfrei**
- **Nabenwerkstoffe: Aluminium, Grauguss (GG/GGG), Stahl**

- **Torsional elasticity**
- **Dampening**
- **Blind assembly**
- **Safe against break-down**
- **No maintenance**
- **Hub material: Aluminium, Cast Iron (GG/GGG), Steel**

Funktionsweise - Technical description

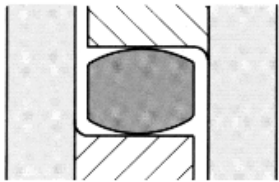


Abb. 1 - Figure 1
Unbelasteter Polyurethan-Zahn
Unloaded Polyurethane-tooth

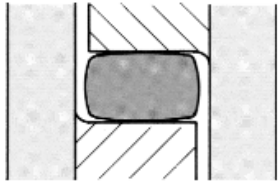


Abb. 2 - Figure 2
Belasteter Polyurethan-Zahn
Loaded Polyurethane-tooth



Kupplung bestehend aus: - Coupling assembled:
Zwei Kupplungs-naben mit elastischem Zahnkranz
Two hubs with elastic spider

Elastische Kupplungen sind in der Lage, kurzzeitige Drehmomentstöße durch zeitweilige elastische Speicherung eines Teiles der Stoßenergie zu mildern. Der Ungleichförmigkeitsgrad der Bewegungs- und Kraftübertragung wird somit kleiner. Elastische Kupplungen dämpfen den Körperschall und tragen somit zur Geräuschminderung bei. Die elastische SPIDEX®-Kupplung überträgt das Drehmoment formschlüssig und durchschlagsicher. Der ballig profilierte Evolventenzahn (Abb. 1) gestattet den Ausgleich von Radial- und Winkelverlagerungen der zu verbindenden Wellen. Er besteht aus einem thermoplastischen Polyurethan-Elastomer, ist ausschließlich auf Druck belastbar und zeichnet sich darüber hinaus durch hohe Verschleißfestigkeit und Elastizität, gute Dämpfungseigenschaften und gute Beständigkeit gegen Öle, Fette, viele Lösemittel, Witterungseinflüsse und Ozon aus. Hinzu kommt eine gute Hydrolyse- und Tropfenbeständigkeit.

Die Einsatztemperaturen liegen zwischen - 40° und + 100°C. Kurzzeitige Temperaturspitzen bis + 120°C sind zulässig.

Die Standardhärte des Zahnkranzes beträgt 92° Shore A. Für niedrige Drehmomente kann auch ein Zahnkranz mit 80° Shore A und für höhere Drehmomente mit 95° bis 98° Shore A eingesetzt werden. Durch die aus Abb. 1 und Abb. 2 zu ersiehende Balligkeit nehmen die Zähne des Zahnkranzes mit zunehmender Verformung eine überproportional wachsende Verformungsenergie auf.

Der Wert der Federsteife CT des Zahnkranzes nimmt mit Vergrößerung des relativen Drehwinkels α zu. Folglich arbeitet die Kupplung bei geringer Kraftübertragung relativ weich und mit zunehmendem Drehmoment immer härter. Hieraus ergibt sich eine progressive Federkennlinie gemäß Abb. 3. Die dynamische Federkennlinie hat einen geringfügig steileren Verlauf.

Die in Abb. 3 dargestellte Dämpfungsarbeit bewirkt die in Abb. 4 ersichtliche Dämpfung von Drehmomentstößen.

Ein besonderer Vorteil der progressiven Federkennlinie liegt im Resonanzverhalten der SPIDEX®-Kupplung. Da die kritische Resonanzdrehzahl abhängig von der Federsteife CT ist, letztere sich jedoch mit Verschleibung des Arbeitspunktes ändert, ergibt sich eine Verstimmung des Systems gemäß Abb. 5, welche die Gefahr des Aufschaukelns verringert.

Die progressive Kennlinie schützt somit vor allem die Kupplung gegen unzulässige Überbeanspruchung. Darüber hinaus kann die Federsteife CT durch eine entsprechende Wahl der Shorehärte beeinflusst werden. Eine größere Shorehärte verlagert die Resonanzdrehzahl in einen höheren, eine niedrigere Shorehärte in einen niedrigeren Bereich. Im Zweifelsfalle empfehlen wir eine Berechnung des Systems mittels der antriebs- und lastseitigen Massenträgheitsmomente.

Elastic couplings reduce intermittent short period torsional shocks, by briefly storing elastically part of this shock energy. Any degree of uneven movement and load transference is consequently reduced. Elastic couplings restrain body resonance, and therefore contribute to noise reduction. The elastic SPIDEX® coupling transmits the torque safe against break-down. The convex generated profiled tooth crown, see fig. 1, allows compensation of radial and angular displacements of the two connected shafts. It consists of a thermoplastic Polyurethane elastomer, which is exclusively pressure loaded and designed for high abrasion resistance and elasticity, and to have good damping characteristics, and to be resistant to oils, greases, many solvents, atmospheric effects and ozone, as well as good resistance to hydrolysis in tropical conditions.

The operating temperatures are between - 40° and + 100°C. Short max. temperatures up to + 120°C are admissible.

The standard hardness of the spider is 92° Shore A. For low torques a spider of 80° Shore A, can be used and for higher torques a spider of 95° to 98° Shore A, can be used. From figures 1 and 2, it can be seen that the convex rim of the tooth takes higher proportion of deformation-energy, the more deformation increases. The value of the torsional stiffness CT of the tooth crown increases with the torsional angle α . Consequently, the coupling is relatively soft under small load conditions and becomes harder and harder as the torque increases. This causes a progressive torsion curve, as shown in fig. 3. The dynamic torsion curve has an insignificantly steeper course.

The damping energy shown in fig. 3 results in the damping of torque shocks as shown in fig. 4.

Special advantage of the progressive torsion characteristic is in the resonance suppression achieved by the SPIDEX®-coupling, as the critical resonance speed depends on the torsional stiffness CT (see fig. 5).

The progressive curve therefore mainly protects the coupling against inadmissible overstressing. Furthermore, the torsional stiffness CT of the spider can be influenced by the choice of an appropriate Shore hardness material. A larger Shore hardness moves the resonance speed higher, and a lower Shore hardness moves resonance speed into a lower range. If in doubt, we recommend a calculation of the system parameters by using the moments of inertia of the driving and driven sides.

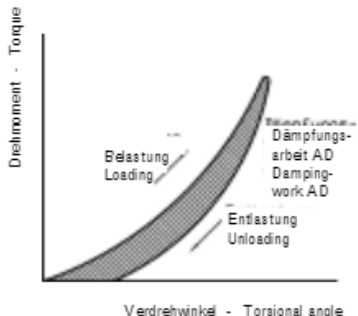


Abb. 3 - Fig. 3
Progressive Drehfederkennlinie mit Dämpfung erzeugender Hysterese
Progressive torsional characteristic with damping, effected by hysteresis

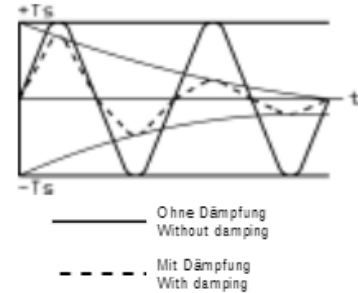


Abb. 4 - Fig. 4
Drehmomentstoß mit und ohne Dämpfung
Torque shock with and without damping

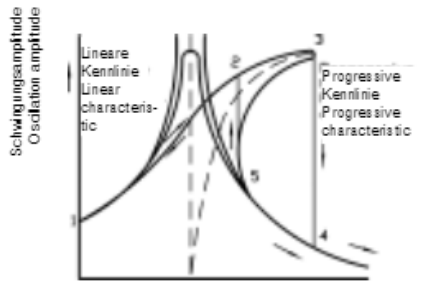


Abb. 5 - Fig 5
Resonanzverhalten elastischer Kupplungen mit linear und progressiv ansteigender Drehfederkennlinie
Resonance suppression of elastic couplings with linear and progressively increasing torsional characteristic

